

基于深度学习的信道译码的改进

暨宇俊

摘要

在文献 [1] 中重新审视了使用深度神经网络对极化码进行一次性解码的想法，并得出以下结论：(i) 极化码比随机码更容易学习；(ii) 神经网络在极化码编码的训练中能够泛化到从未见过的码字。[1] 中解释说明了神经网络可以学习信道译码，但仅限于 $N \leq 64$ 的情况。在短码场景下，[1] 中使用信息比特真实值训练神经网络，能够接近 MAP 译码的性能。本文尝试使用 MAP 译码值训练神经网络，尝试学习信道的概率规律，同时还对构造方法进行改进。实验结果表明，两种改进方式均能够提升译码性能。

关键词：极化码；信道译码；深度学习

1 引言

近年来，深度学习技术各个领域取得了显著的成功，包括图像识别、自然语言处理等领域。信道编解码技术主要用于提高信息在信道中的传输可靠性，实现信息在信道中的可靠传输。极化码是近年来所提出的一种编码方式，是第一种能够被严格证明达到信道容量的信道编码方法 [2]。极化码的译码是基于迭代的译码方法，主要包含两类译码方式：(i) 串行译码：如 SC, SCL 等译码方法，他们都是基于比特顺序的译码，无法并行化译码，具有时效性低的缺点；(ii) 并行译码：如 BP 等译码方法，其译码性能通常不如串行译码方法，但可并行化译码，具有时效性高的优点。

论文 [1] 中尝试将深度学习技术应用于信道解码，验证深度学习技术在信道编解码领域的应用是否有效，以及它是否能够达到或超过传统解码算法的性能。如果深度学习能够应用于信道编解码领域，接收端则可以对码字进行一次性解码，代替传统的迭代解码，效率更高。进一步地，基于深度学习的译码若能逼近迭代译码算法的性能，那将解决了迭代译码中译码性能和并行化的问题。

2 相关工作

极化码的主流译码算法是 SC (Successive Cancellation, 串行抵消) 译码 [2] 及其改进算法，SC 译码的改进是沿着降低复杂度、提升性能的两条路线展开的。在降低复杂度方面，代表性的方法是 SSC (Simplified Successive Cancellation, 简化串行抵消) 译码 [3] 算法，其基本思路是在码树上引入码率 $R=0$ 与 $R=1$ 的子码，对这些子码上的节点信息直接硬判决。在提升译码性能方面，需要改进码树上的路径搜索机制，主要包括广度优先与深度优先两种搜索机制。SCL (Successive Cancellation List, 串行抵消列表) 译码 [4] 算法的改进思路是在码

树上进行广度优先搜索，每次搜索不进行判决，而是保留一个小规模的幸存路径列表。另一种改进思路是在码树上采用深度优先搜索，也就是 SCS (Successive Cancellation Stack, 串行抵消堆栈) 译码 [5] 算法。这种算法按照度量大小顺序，将码树上的路径压入堆栈，每次只扩展度量最大的路径。SCS 和 SCL 译码算法都能够接近 ML (Maximum Likelihood, 最大似然) 译码性能。SCH (Successive Cancellation Hybrid, 串行抵消混合) 译码 [6] 是将 SCL 与 SCS 组合，达到复杂度与性能的折中。SCP (Successive Cancellation Priority, 串行抵消优先) 译码 [7] 也可看作一种 SCL/SCS 算法的组合，通过引入优先级队列机制，减少了路径搜索的次数。此外，上述这些改进算法都可以应用于 CRC-Polar 级联码 [8]，构成 CRC 辅助的译码算法。

90 年代出现了关于使用神经网络进行译码的不同想法。虽然在 [9] 中，输出节点表示码字的位，但也可以对每个码字 [10] 使用一个输出节点。对于汉明编码，另一种变体是只使用特征作为神经网络的输入，以找到最有可能的错误模式 [11]。随后，卷积码的神经网络译码 (Neural Network Decoding, NND) 出现在 1996 年，当时 Wang 和 Wicker 证明了 NND 与理想的维特比解码器 [12] 的性能相匹配。但他们也提到了 NND 的一个非常重要的缺点：译码问题比传统的模式识别问题有更多的可能性。这就限制了 NND，它只能译码短码。然而，利用递归神经网络 [13] 进一步改进了卷积码的神经网络译码器。NND 在定长码和卷积码方面都没有取得任何大的突破。由于当时的标准训练技术，这两种码不可能与使用大量神经元和层的神经网络一起工作，这也是人们认为神经网络译码不适合译码较长的码字的原因。因此，人们对神经网络的兴趣减少了，不仅是对机器学习本身，而且将其应用在译码方面的兴趣也减少了。在接下来的几年里，有了一些轻微的改进，例如，通过使用随机神经网络 [14] 或通过减少权重 [15] 的数量。2006 年，一种新的训练技术，即逐层无监督预训练，然后是梯度下降微调 [16]，导致了神经网络的复兴，因为它能训练具有更多层的神经网络。具有许多隐藏层的神经网络被称为深度神经网络。如今，强大的新硬件，如图形处理单元 (GPU) 可以用来加速学习和推理。在神经网络的复兴中，新的 NND 思想出现了。然而，与以前的工作相比，神经网络学习技术仅用于优化已知的解码方案，我们称之为专家知识的引入。例如，在 [17] 中，给定置信度传播 (BP) 算法的 Tanner 图权重，并通过神经网络技术进行学习，以改进 BP 算法。机器学习的最新进展似乎还没有适应于学习译码的领域。

本文复现及改进的论文 [1] 是最早提出基于全连接神经网络的极化码译码论文。

3 本文方法

3.1 传统极化码译码

极化码译码的基本算法是 SC 译码算法，最早由 Arıkan 提出 [2]。其核心思想是在整个极化过程中进行软硬信息的计算和传递，最后在信源侧进行逐比特判决，它是一种串行的译码算法。对于码长为 N 的极化码，SC 译码器收到接受信号 y_1^N 后，不断逐比特译码 u_i ，利用接收信号和前面 $i-1$ 个译码估计值 \hat{u}_1^{i-1} 来译码 u_i ，直到译码完 u_N 。

对每个极化子信道 $W_N^{(i)}(y_1^N, \hat{u}_1^{i-1}|u_i)$ ，其对数似然比定义为：

$$L_N^{(i)}(y_1^N, \hat{u}_1^{i-1}) = \ln \frac{W_N^{(i)}(y_1^N, \hat{u}_1^{i-1}|0)}{W_N^{(i)}(y_1^N, \hat{u}_1^{i-1}|1)} \quad (1)$$

当计算出 $L_N^{(i)}(y_1^N, \hat{u}_1^{i-1})$ 后, 对比特 u_i 进行译码判决:

$$\hat{u}_i = \begin{cases} 0, & L_N^{(i)}(y_1^N, \hat{u}_1^{i-1}) \geq 0 \\ 1, & L_N^{(i)}(y_1^N, \hat{u}_1^{i-1}) < 0 \\ u_i & i \in A \end{cases} \quad (2)$$

SC 译码算法在每次译码判决时会直接给出当前比特的估计值, 这是一种贪心的方式, 仅能保证局部最优, 对于整个译码过程来说, 相比于全局最优的 MAP(Maximum A Posteriori, 最大后验概率) 译码, 还是有性能上的差距。

3.2 深度学习译码

极化码编码和神经网络译码的结构如图 1 所示:

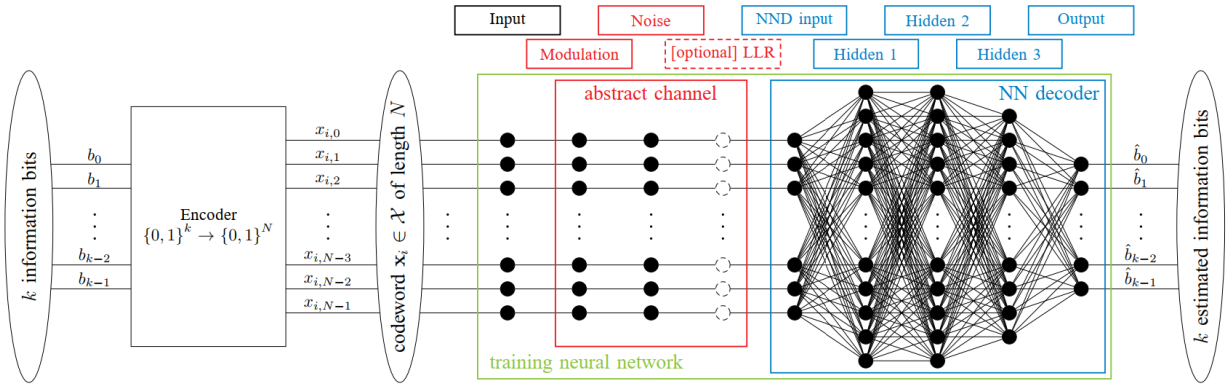


图 1. 极化码编码和神经网络译码结构图

3.2.1 极化码编码

图 1 中的 Encoder 结构为极化码的编码结构, 将 k bits 向量进行线性变换得到 N bits 向量, 极化码的编码分为三步:

(1) 子信道的可靠性估计

常采用巴氏参数构造, 通过下式计算子信道 $W_N^{(i)}(y_1^N, \hat{u}_1^{i-1} | u_i)$ 的巴氏参数:

$$Z(W_{2N}^{(2i-1)}) \leq 2Z(W_N^{(i)}) - Z(W_N^{(i)})^2 \quad (3)$$

$$Z(W_{2N}^{(2i)}) = Z(W_N^{(i)})^2 \quad (4)$$

巴氏参数 $Z(W_N^{(i)})$ 越小越好, 在 N 个极化子信道中选择 k 个作为信息位 A , 其余位置作为冻结位, 用于发送冻结比特, 冻结比特一般设为全 0。

(2) 比特混合

将待发的 k bits 信息比特放在可靠性较高的信道发送, 信道索引为 A , 其余冻结比特统一设为全 0, 得到 N bits 向量。

(3) 构造生成矩阵

记生成矩阵为 G_N , 其计算公式为:

$$G_N = B_N F^{\otimes n} \quad (5)$$

其中, $N = 2^n$, B_N 为比特逆序置换矩阵, $F = \begin{bmatrix} 1 & 0 \\ 1 & 1 \end{bmatrix}$ 。

3.2.2 调制与噪声

实验中使用的 BPSK 调制和高斯白噪声信道 (Additive White Gaussian Noise, AWGN), BPSK 调制即为映射 $s = 1 - 2x$, AWGN 信道即信道噪声服从 $N(0, \sigma^2)$ 。图 1 中的 LLR 层可选, 使用 LLR 层的软译码通常性能会更好。

3.2.3 神经网络译码

采用全连接神经网络, 网络的参数描述如下:

- 输入为 N 维向量, 输出为 k 维向量, 即神经网络译码结果
- 含有三层隐藏层, 采用 128-64-32 的网络结构
- 隐藏层的激活函数采用 Relu 激活, 输出层采用 Sigmoid 激活
- 优化器采用 Adam 优化器
- 损失函数采用 MSE
- 度量使用误比特率 (Bit Error Rate, BER)

该网络与通常的网络不同, 该网络不会过拟合, 因为我们将噪声层 Noise 放入了网络结构中, 但其不存在权重参数, 而是直接的映射, 因为噪声的随机性, 网络每次训练的输入是不同的。

为了检验网络的泛化能力, 通常不把全部数据都放进网络训练, 将所有的 2^k 个比特向量划分为训练集和验证集, 将验证集用于检验网络的泛化能力, 由于极化码的一大特点就是其构造与信道紧密相关, 为了更好地应用到实际应用中, 往往需要对构造方法和信道条件解耦。

为了确定网络训练的噪声条件, 论文提出归一化验证误差 (Normalized Validation Error, NVE):

$$NVE(\rho_t) = \frac{1}{S} \sum_{s=1}^S \frac{BER_{NND}(\rho_t, \rho_{v,s})}{BER_{MAP}(\rho_{v,s})} \quad (6)$$

其中, ρ_t 为训练时的信道信噪比, $\rho_{v,s}$ 为第 s 个验证集的信道信噪比, $BER_{NND}(\rho_t, \rho_{v,s})$ 为在 ρ_t 训练 $\rho_{v,s}$ 的 BER, $BER_{MAP}(\rho_{v,s})$ 为在 $\rho_{v,s}$ 下的 MAP 译码

4 复现细节

4.1 与已有开源代码对比

论文 [1] 中仅对文章中部分实验代码开源, 能够运行出极化码神经网络译码的结果, 因此复现主要基于开源的部分代码的基础上。本次复现实验更多地是找出论文中的不足之处, 对其加以改进。

4.2 实验环境搭建

python3.7, Anaconda22.9.0, TensorFlow 框架

4.3 界面分析与使用说明

代码文件包含两个文件夹，分别为 Matlab 代码文件夹和 Python 代码文件夹，Matlab 文件夹（图 2）中给出了传统的极化码译码算法的仿真代码，例如 SC、SCL 译码等，Python 代码文件夹（图 3）中给出了复现代码 ipynb 文件和改进后的 ipynb 文件（文件名含 improved）。在安装了所需的库文件后均可直接运行。



图 2. Matlab 代码文件夹

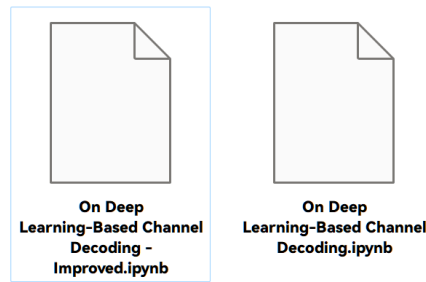


图 3. Python 代码文件夹

4.4 创新点

(1) 改进一：对构造方法的改变

原论文中采用的极化码构造方法为巴氏参数构造法，是依赖于信道条件的构造方法，而文中通过 NVE 选择训练的信噪比 SNR 实际上包含有 [18] 中 the best design-snr 的思想，其目的依然是对构造方法和信道条件的解耦。让两者彻底解耦的构造可采用 [19] 中华为所提出的 β -expansion 构造，其构造方式与信道无关。

在 β -expansion 构造中，每个极化子信道的可靠性由极化权重确定：

$$PW(W_N^{(i)}) = \sum_{i=0}^{n-1} b_i \beta^i \quad (7)$$

其中， $(b_{n-1}, \dots, b_1, b_0)$ 为 i 的二进制展开， $\beta = 2^{1/4}$ 。

(2) 改进二：对训练目标的改进

原论文中在 NND 的训练中目标/标签采用的是信息位的真实值，而事实上任何确定的译码方式都会出错，错误概率最小的译码为 MAP 译码，MAP 译码是对噪声规律最好的解释。因此，应该将 MAP 译码结果作为目标/标签，网络要学习信道噪声的规律。

5 实验结果分析

先展示实验复现的运行结果，再展示第四节中介绍的两种改进后的结果。

5.1 实验复现结果

在码长 $N = 16$ ，信息长度 $k = 8$ 的条件下进行实验，NND 的网络结构采用 128-64-32 NN，实验结果如图 4 所示。由实验结果可知，NND 译码是能够接近 MAP 译码的性能。

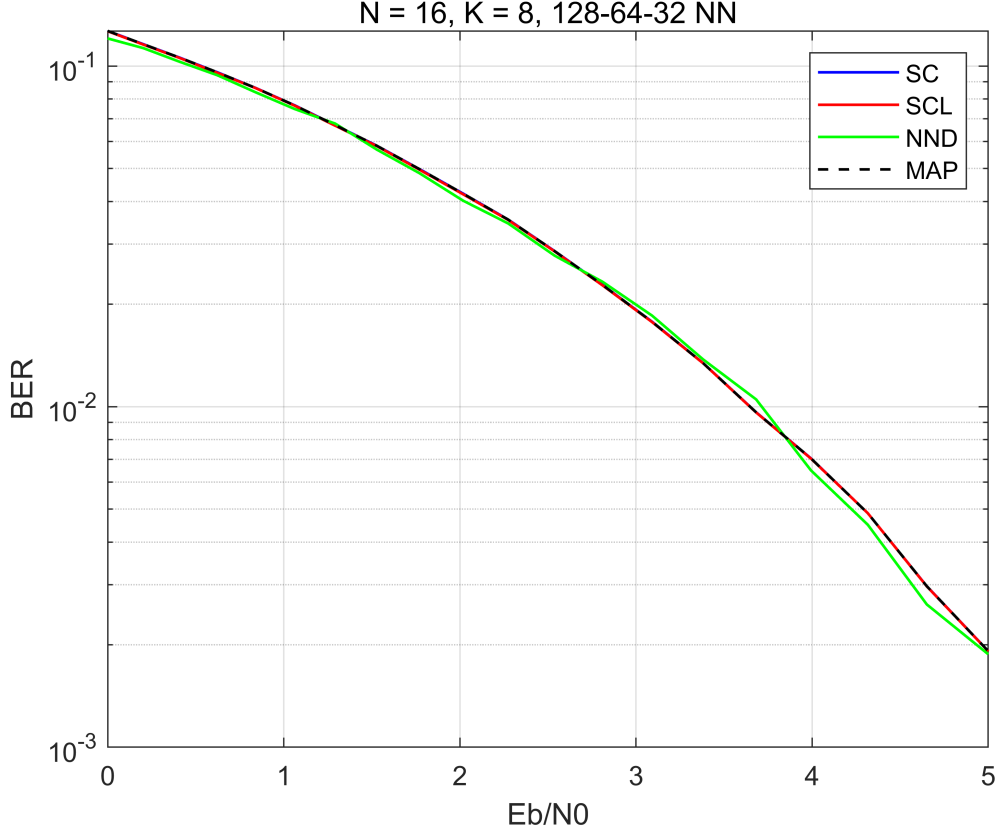


图 4. SC,SCL,NND,MAP 性能对比

5.2 改进一的实验结果

实验参数同 5.1 所示，但训练的信道信噪比选择不再采用原论文中的 NVE 计算，而是直接将构造方法改为使用 β -expansion 构造。实验结果如图 5 所示。由实验结果可知，改进后的 NND 译码性能优于原论文的 NND 译码性能，在某些信噪比区间，甚至优于 MAP 译码性能。

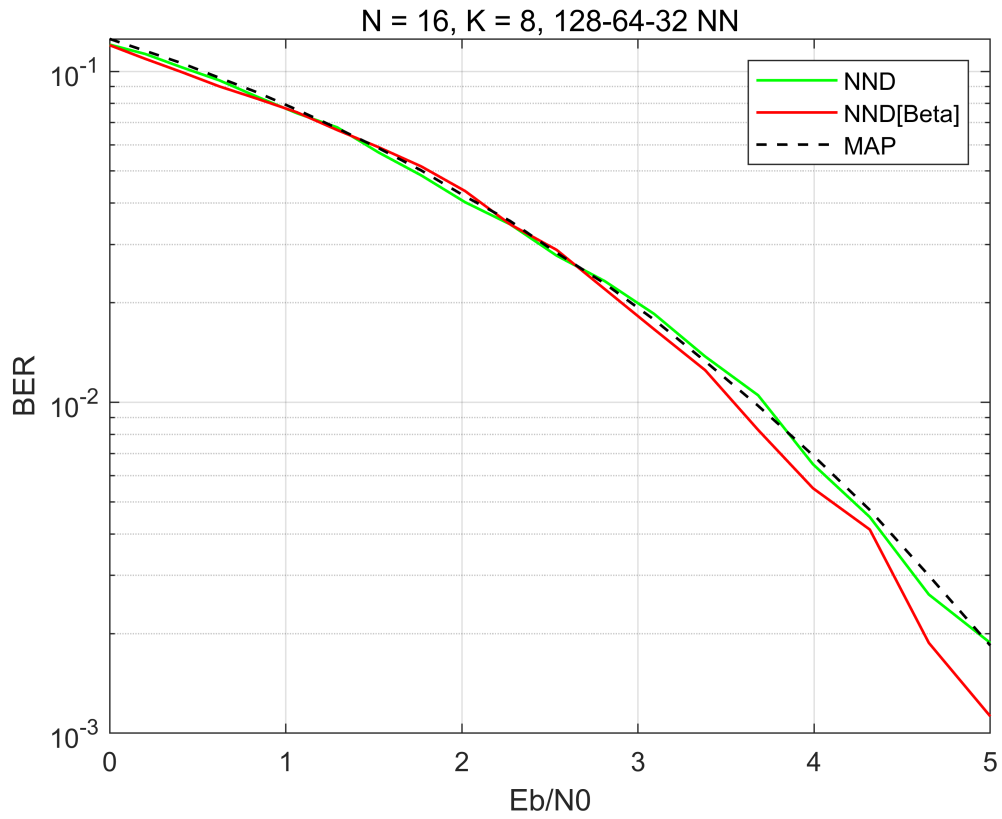


图 5. NND (原论文), NND (Beta 改进), MAP 性能对比

5.3 改进二的实验结果

实验参数同 5.1 所示，但训练的目标值由真实值换为 MAP 译码值。实验结果如图 6 所示。由实验结果可知，改进后的 NND 译码性能优于原论文的 NND 译码性能，并基本优于 MAP 译码性能。

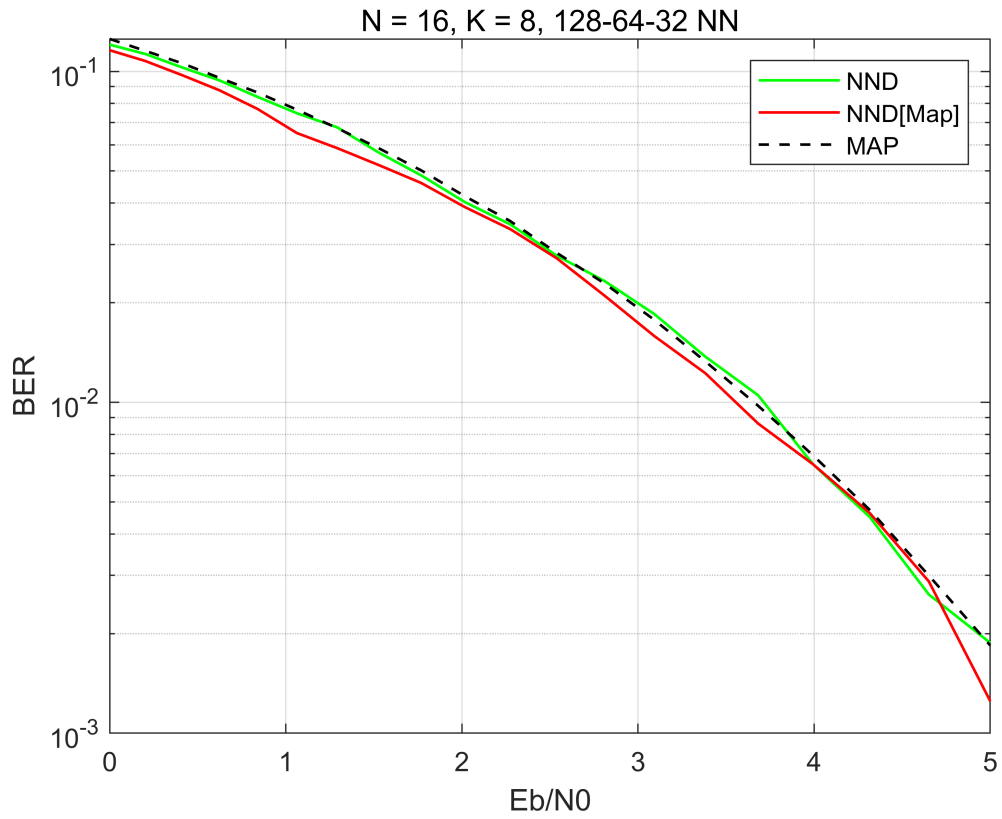


图 6. NND (原论文) ,NND (Map 改进) ,MAP 性能对比

5.4 实验结果汇总

实验参数同 5.1 所示，多种不同译码算法的实验结果如图 7 所示。可以给出结论：NND 及其各种改进都能够达到 MAP 甚至优于 MAP。

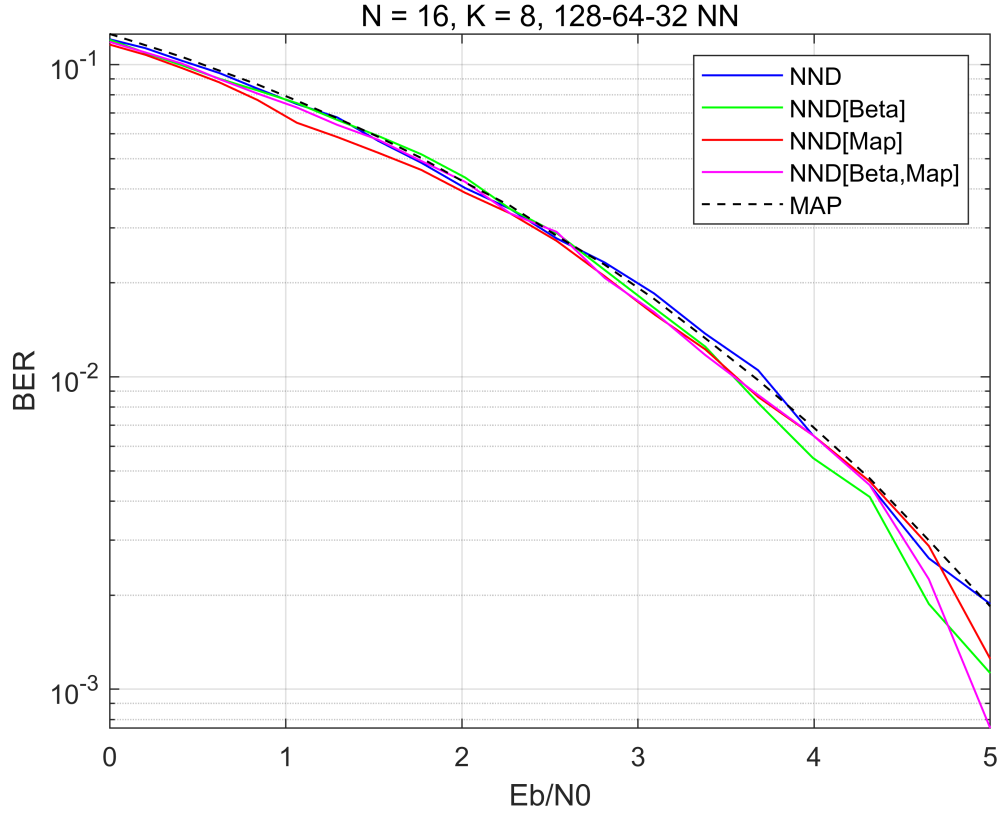


图 7. NND,NND(Beta),NND(Map),NND(Beta,Map),MAP 性能对比

6 总结与展望

本次实验复现了论文 [1] 中的仿真结果，并提出了两种对神经网络训练的改进，一是对构造方法的改进，二是对训练目标选择的改进。对论文的复现仿真可知 NND 译码是能够接近 MAP 译码的性能。两种不同的改进均能有效提高译码性能，甚至可优于 MAP 译码的性能。

NND 存在着一个致命的缺点：当信息位长度 k 较大时， k 维码字空间中含有 2^k 个码字，如果将全部码字拿来划分训练集和验证集，即使不考虑相同码字训练轮次 epochs，都会具有致命的复杂度问题。在 $N = 16$ 时，epochs 得达到 2^{16} 才能接近 MAP 译码性能。若只对部分码字划分，那对于没被划分到的码字的译码结果必然很差，网络的泛化能力较为一般。因此，对于解决非短码的情形有两个未来可研究的方向：一是借助极化码本身的递归结构，由短码 NND 译码递归到更长的 NND 译码；二是采用更有效适合的网络结构和神经元。

参考文献

- [1] Tobias Gruber, Sebastian Cammerer, Jakob Hoydis, and Stephan Ten Brink. On deep learning-based channel decoding. In *2017 51st annual conference on information sciences and systems (CISS)*, pages 1–6. IEEE, 2017.
- [2] Erdal Arıkan. Channel polarization: A method for constructing capacity-achieving codes for symmetric binary-input memoryless channels. *IEEE Transactions on information Theory*, 55(7):3051–3073, 2009.

- [3] Amin Alamdar-Yazdi and Frank R Kschischang. A simplified successive-cancellation decoder for polar codes. *IEEE communications letters*, 15(12):1378–1380, 2011.
- [4] Ido Tal and Alexander Vardy. List decoding of polar codes. *IEEE transactions on information theory*, 61(5):2213–2226, 2015.
- [5] Kai Niu and Kai Chen. Stack decoding of polar codes. *Electronics letters*, 48(12):695–697, 2012.
- [6] Kai Chen, Kai Niu, and Jiaru Lin. Improved successive cancellation decoding of polar codes. *IEEE Transactions on Communications*, 61(8):3100–3107, 2013.
- [7] Di Guan, Kai Niu, Chao Dong, and Ping Zhang. Successive cancellation priority decoding of polar codes. *IEEE Access*, 7:9575–9585, 2019.
- [8] Bin Li, Hui Shen, and David Tse. An adaptive successive cancellation list decoder for polar codes with cyclic redundancy check. *IEEE communications letters*, 16(12):2044–2047, 2012.
- [9] William R Caid and Robert W Means. Neural network error correcting decoders for block and convolutional codes. In *[Proceedings] GLOBECOM’90: IEEE Global Telecommunications Conference and Exhibition*, pages 1028–1031. IEEE, 1990.
- [10] A Di Stefano, O Mirabella, G Di Cataldo, and G Palumbo. On the use of neural networks for hamming coding. In *1991., IEEE International Symposium on Circuits and Systems*, pages 1601–1604. IEEE, 1991.
- [11] LG Tallini and P Cull. Neural nets for decoding error-correcting codes. In *IEEE Technical applications conference and workshops. Northcon/95. Conference record*, page 89. IEEE, 1995.
- [12] Xiao-An Wang and Stephen B Wicker. An artificial neural net viterbi decoder. *IEEE Transactions on communications*, 44(2):165–171, 1996.
- [13] Ari Hamalainen and Jukka Henriksson. A recurrent neural decoder for convolutional codes. In *1999 IEEE International Conference on Communications (Cat. No. 99CH36311)*, volume 2, pages 1305–1309. IEEE, 1999.
- [14] Hossam Abdelbaki, Erol Gelenbe, and Said E El-Khamy. Random neural network decoder for error correcting codes. In *IJCNN’99. International Joint Conference on Neural Networks. Proceedings (Cat. No. 99CH36339)*, volume 5, pages 3241–3245. IEEE, 1999.
- [15] Ja-Ling Wu, Yuen-Hsien Tseng, and Yuh-Ming Huang. Neural network decoders for linear block codes. *International Journal of Computational Engineering Science*, 3(03):235–255, 2002.
- [16] Geoffrey E Hinton, Simon Osindero, and Yee-Whye Teh. A fast learning algorithm for deep belief nets. *Neural computation*, 18(7):1527–1554, 2006.

- [17] Eliya Nachmani, Yair Be'ery, and David Burshtein. Learning to decode linear codes using deep learning. In *2016 54th Annual Allerton Conference on Communication, Control, and Computing (Allerton)*, pages 341–346. IEEE, 2016.
- [18] Harish Vangala, Emanuele Viterbo, and Yi Hong. A comparative study of polar code constructions for the awgn channel. *arXiv preprint arXiv:1501.02473*, 2015.
- [19] Gaoning He, Jean-Claude Belfiore, Ingmar Land, Ganghua Yang, Xiaocheng Liu, Ying Chen, Rong Li, Jun Wang, Yiqun Ge, Ran Zhang, et al. Beta-expansion: A theoretical framework for fast and recursive construction of polar codes. In *GLOBECOM 2017-2017 IEEE Global Communications Conference*, pages 1–6. IEEE, 2017.